

FIG. 9

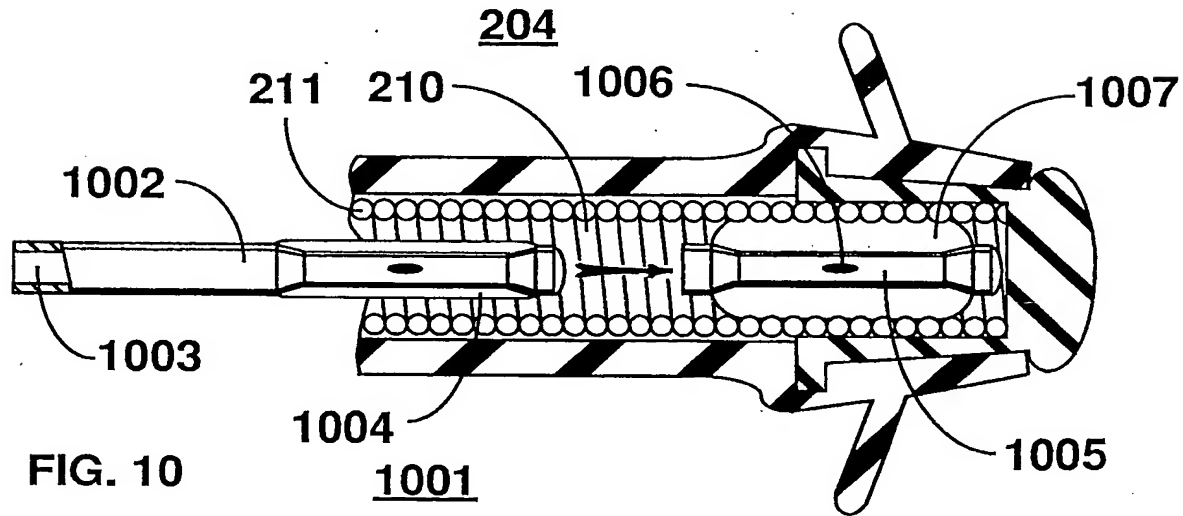


FIG. 10

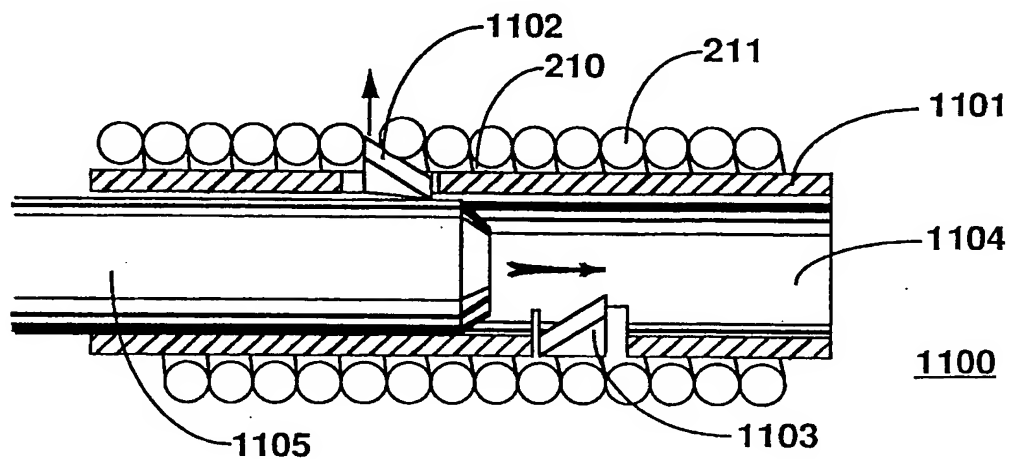
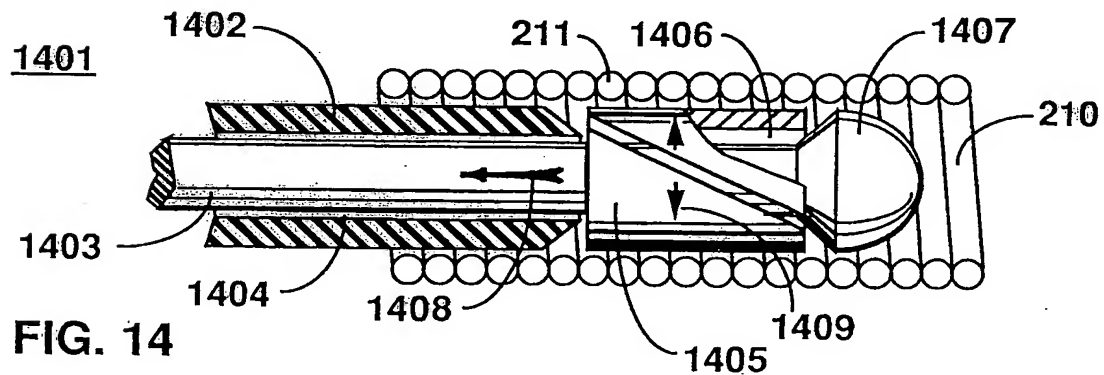
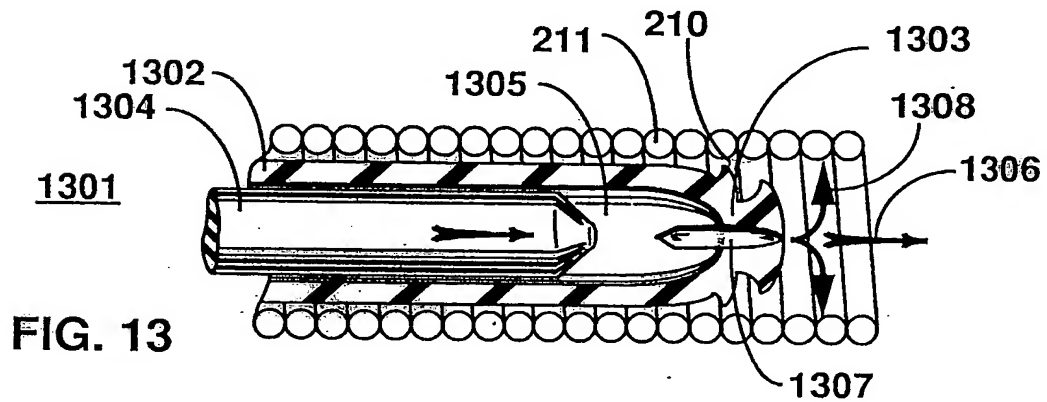
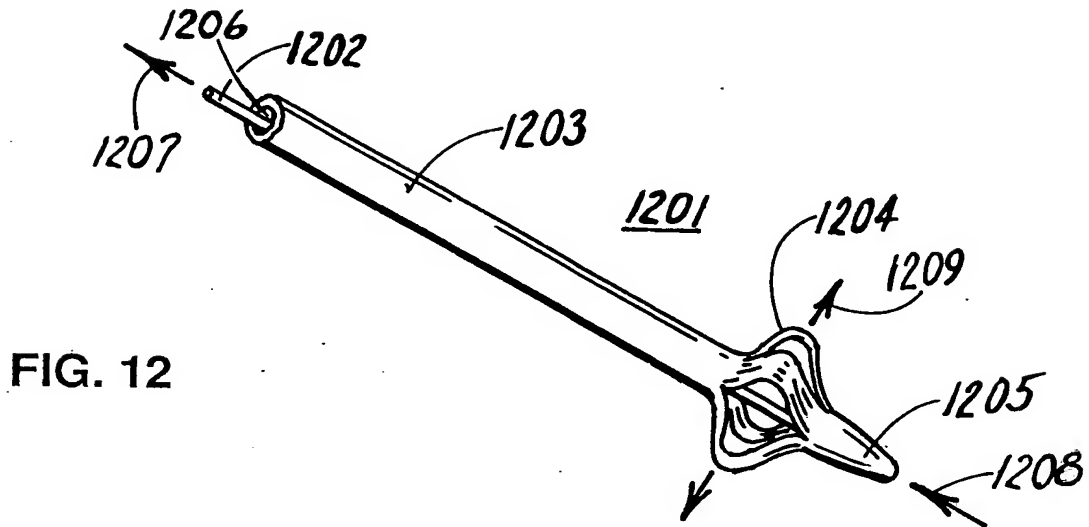


Fig. 11



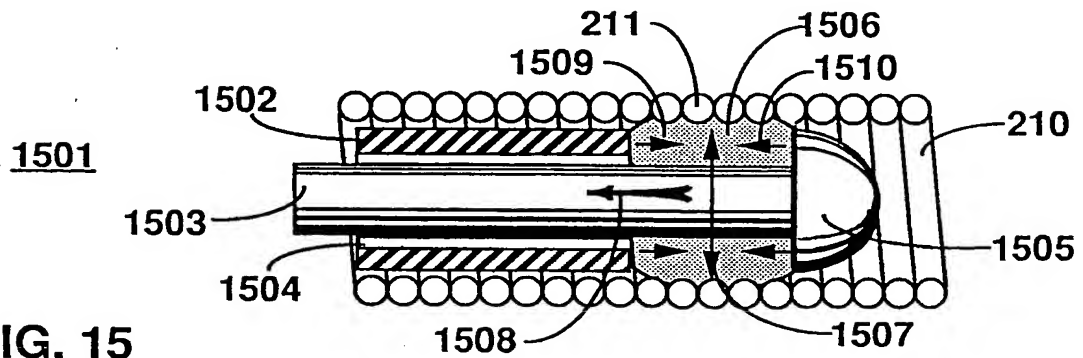


FIG. 15

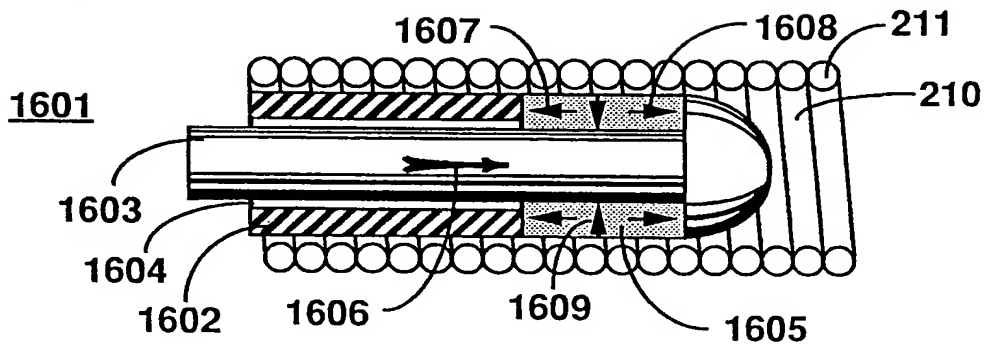


FIG. 16

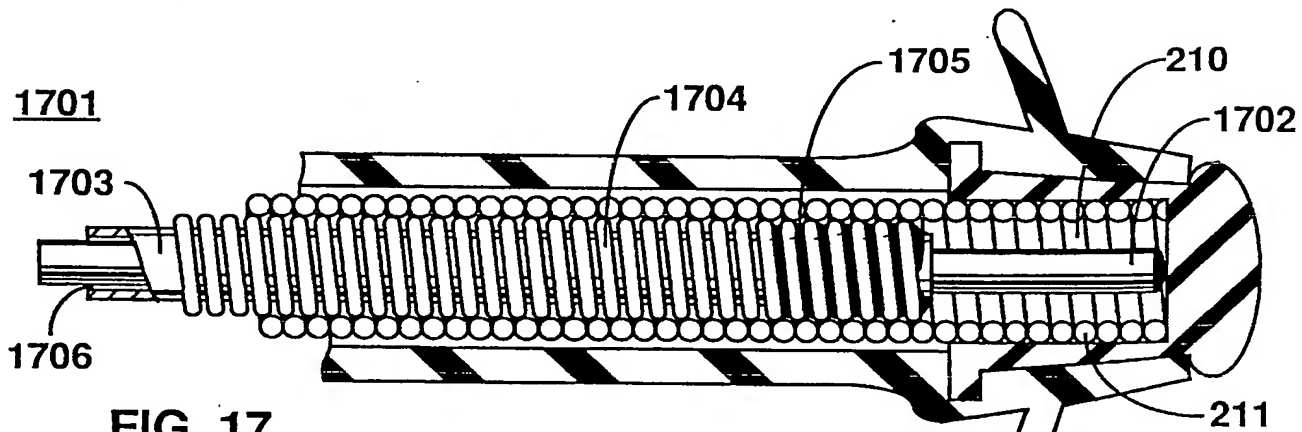


FIG. 17

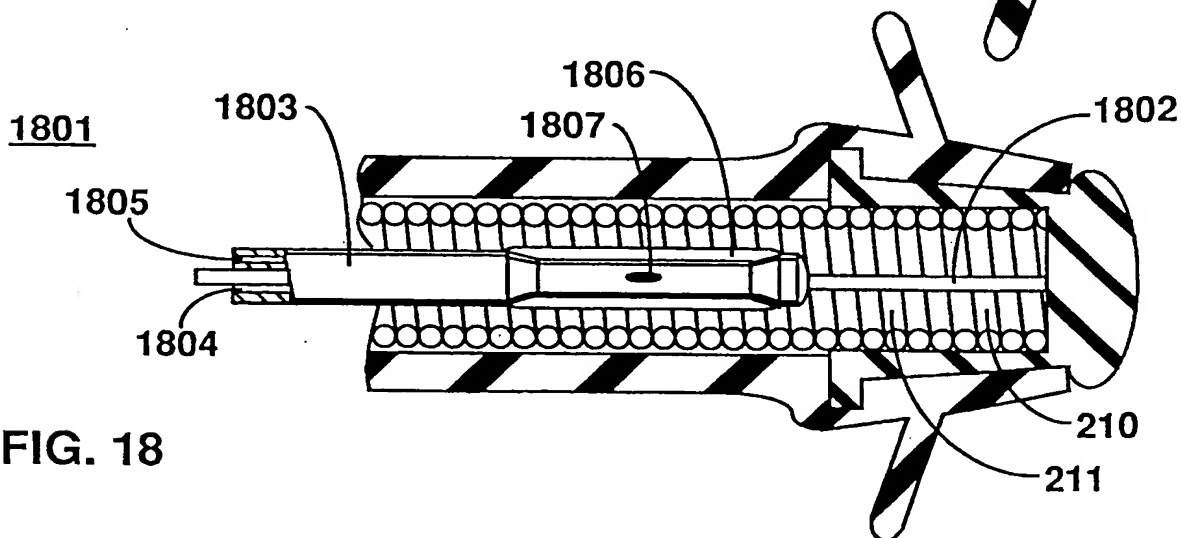


FIG. 18

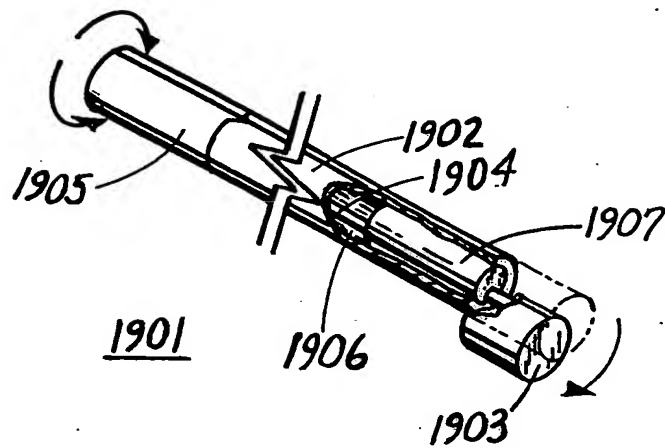


Fig. 19

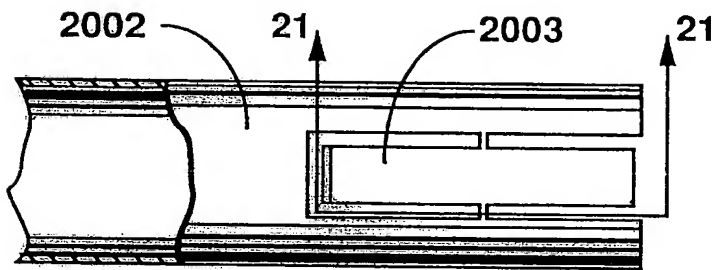


Fig. 20

2001

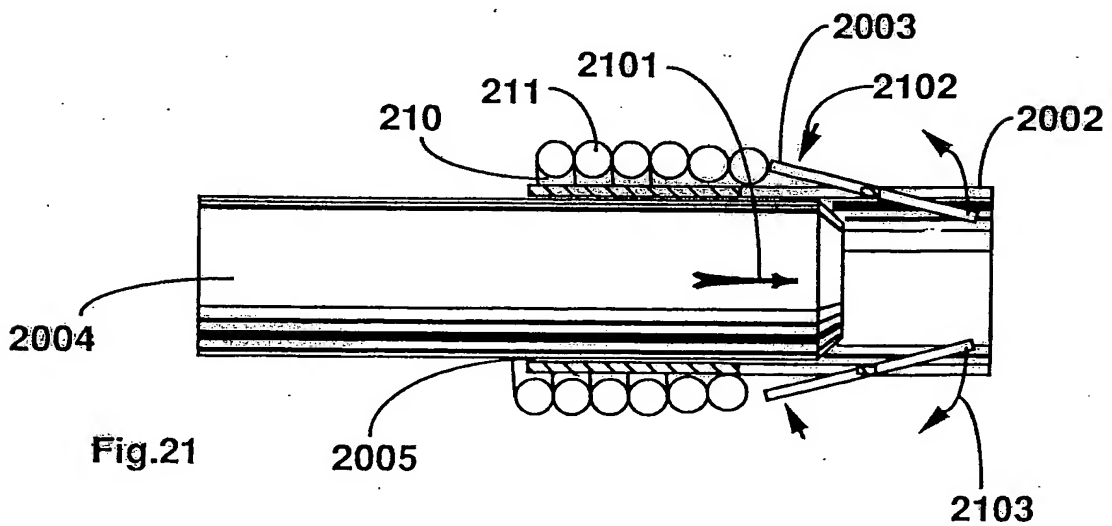
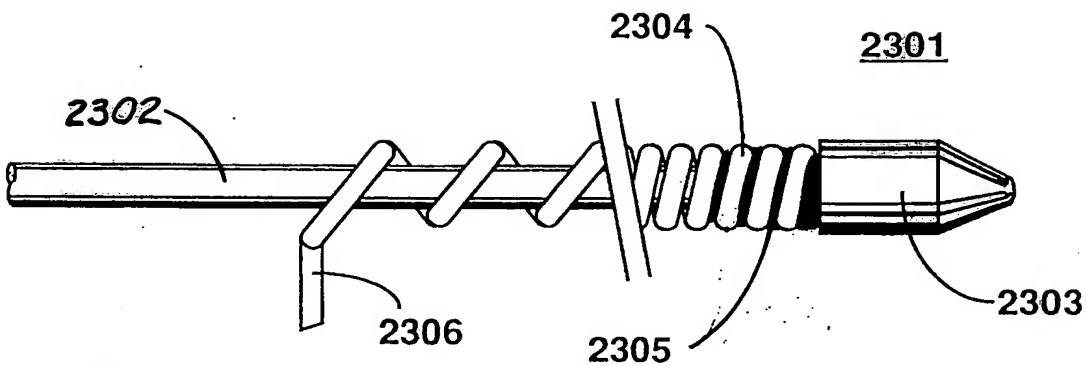
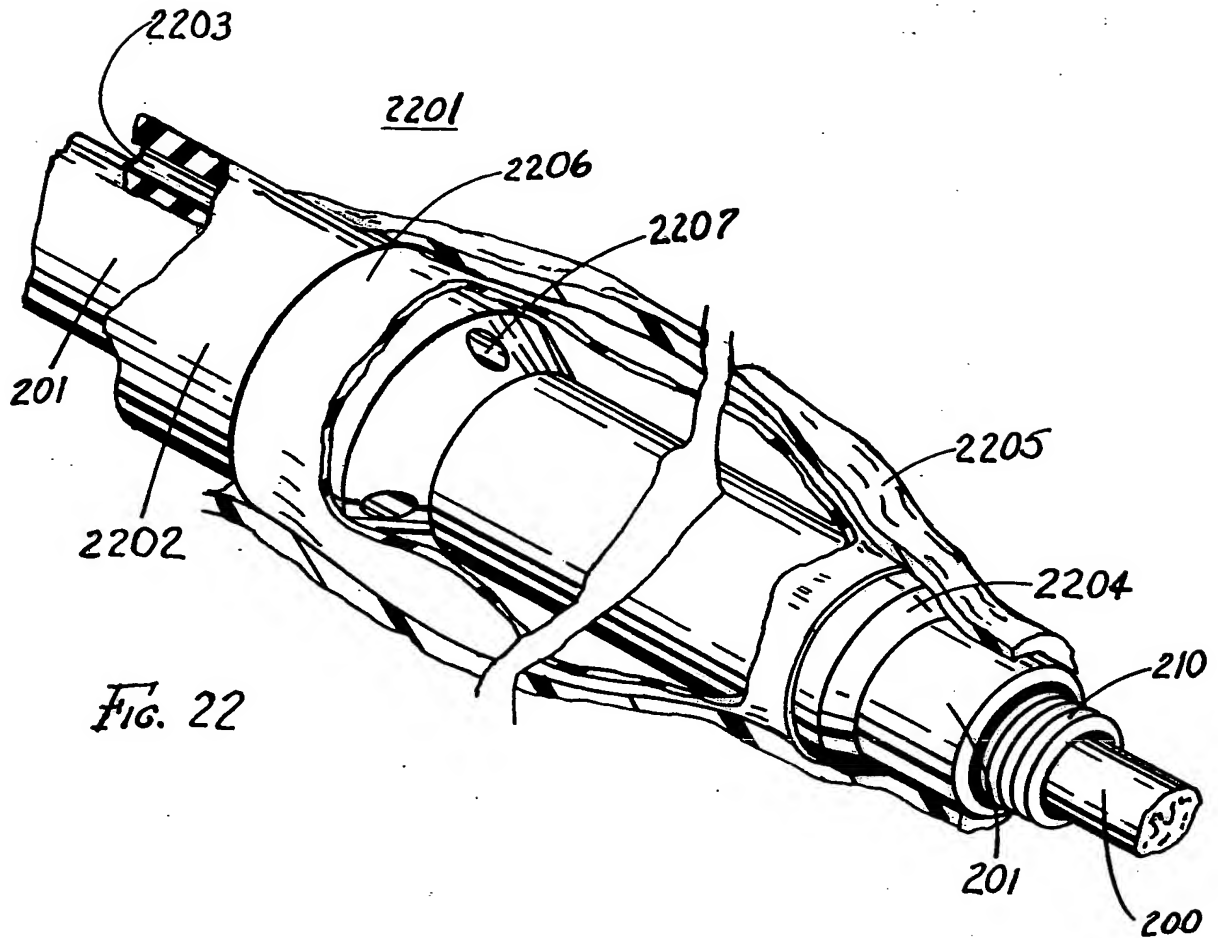
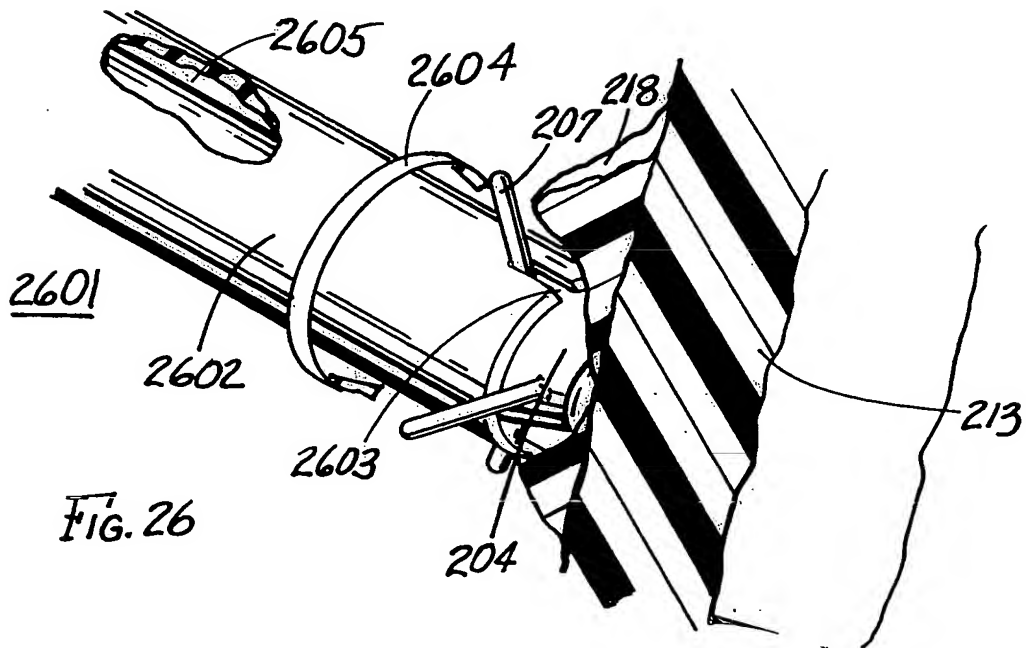
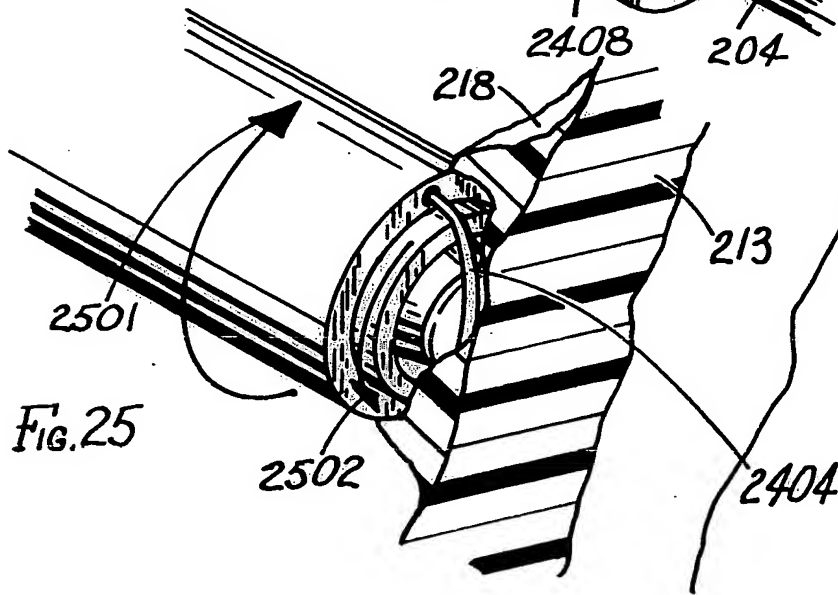
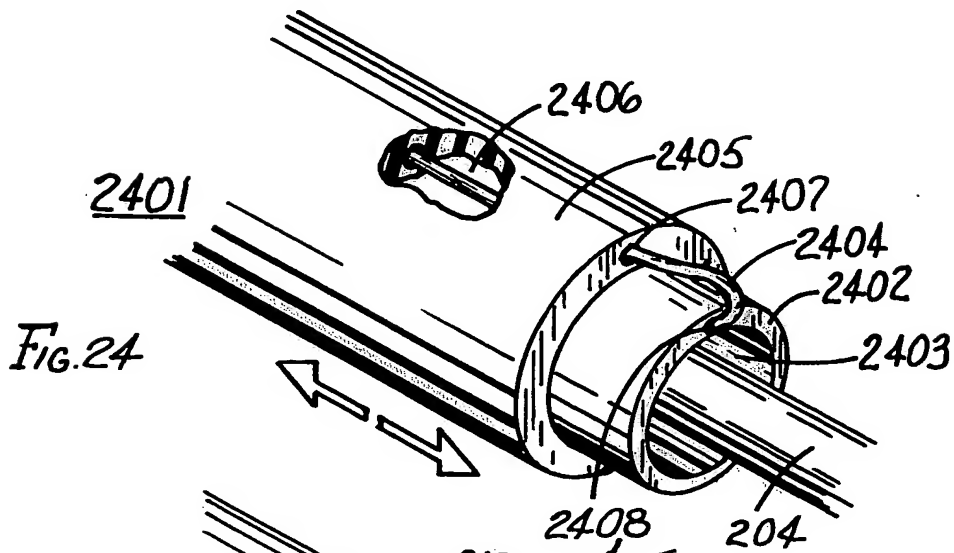
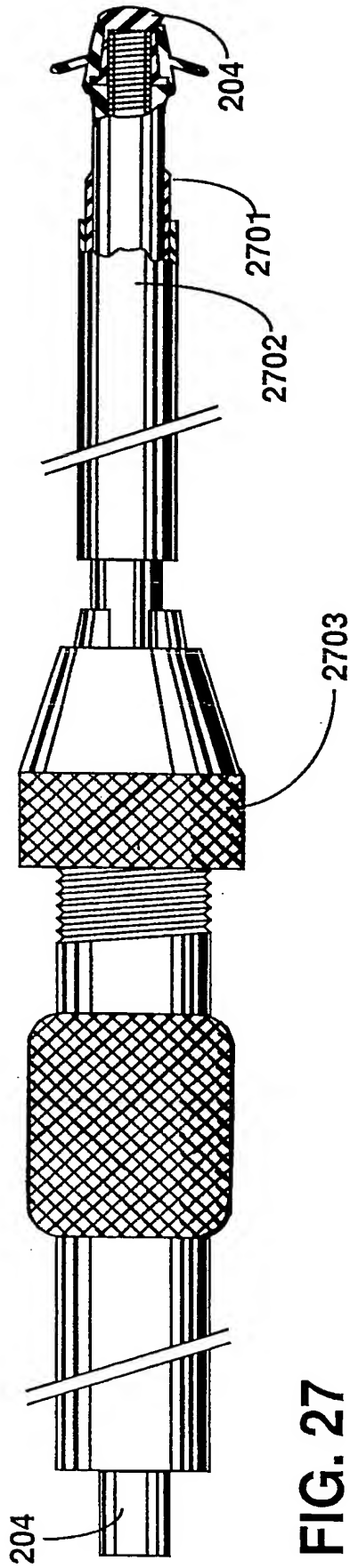


Fig. 21









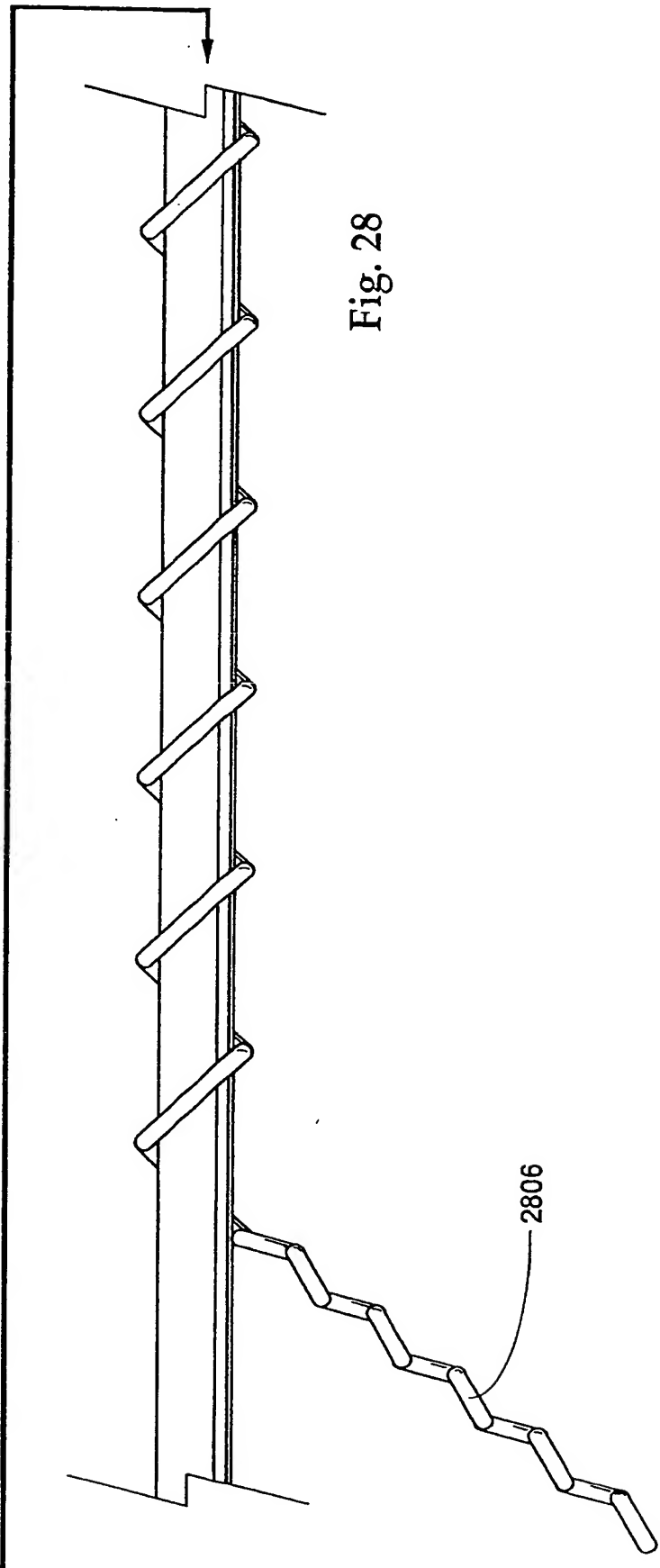
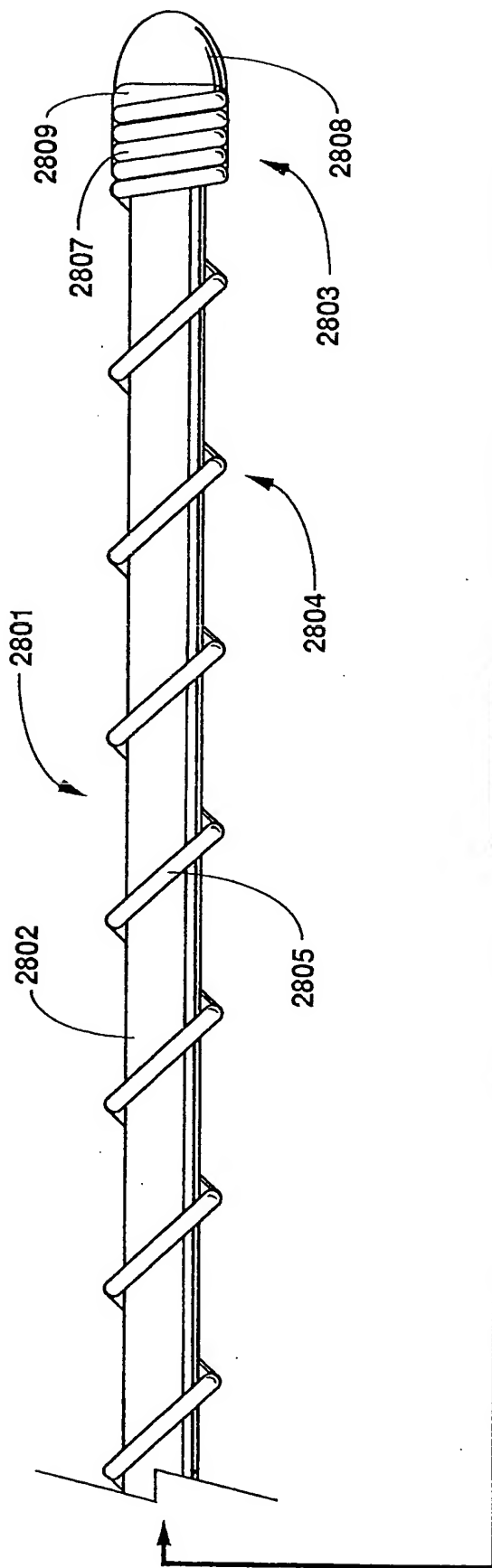


Fig. 28

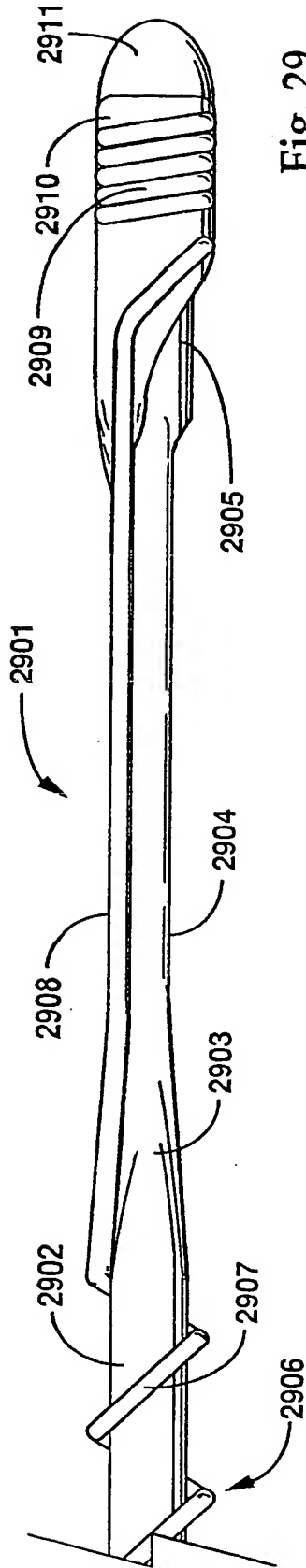


Fig. 29

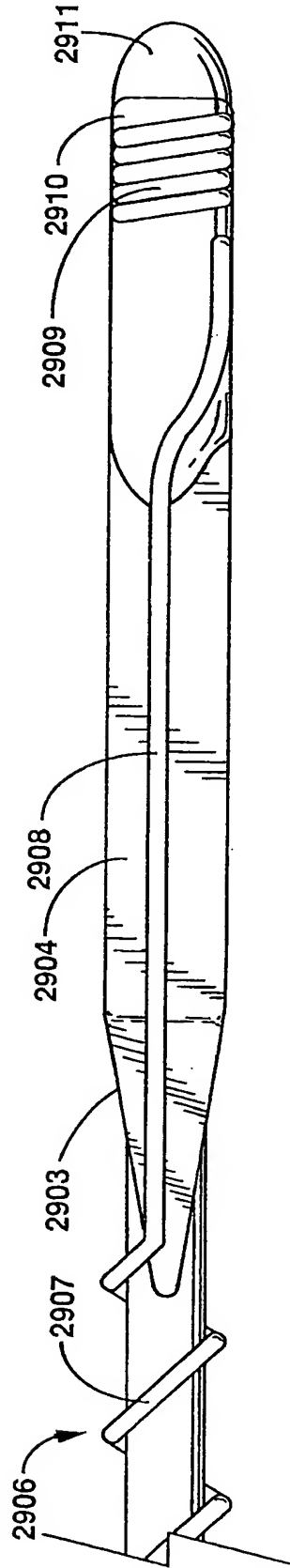


Fig. 30

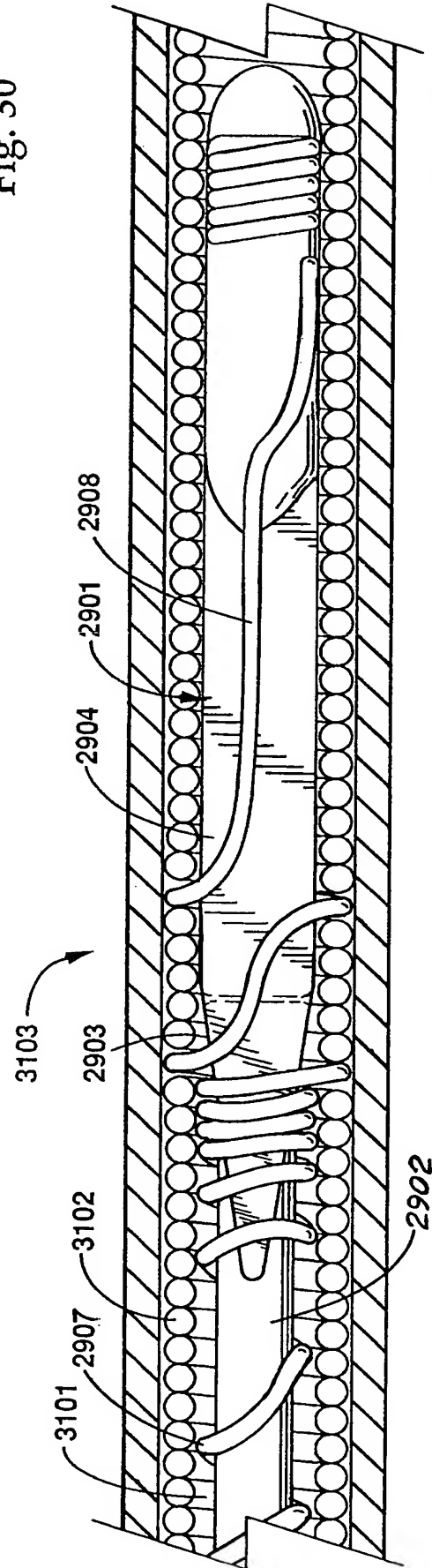


Fig. 31



FIG. 34

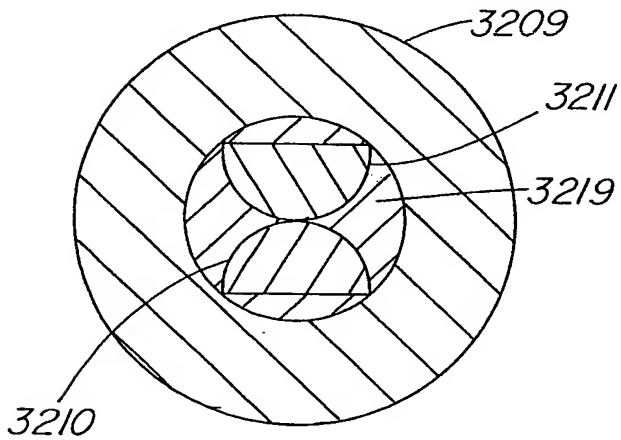
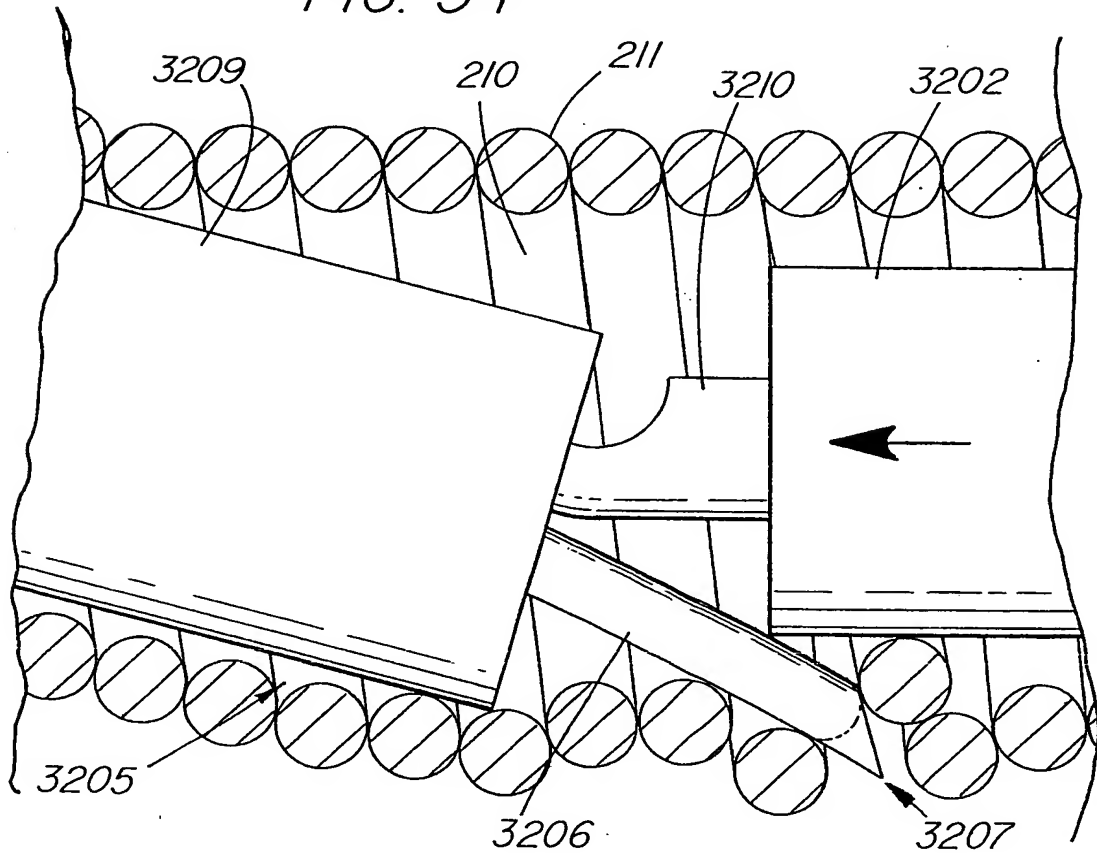


FIG. 35

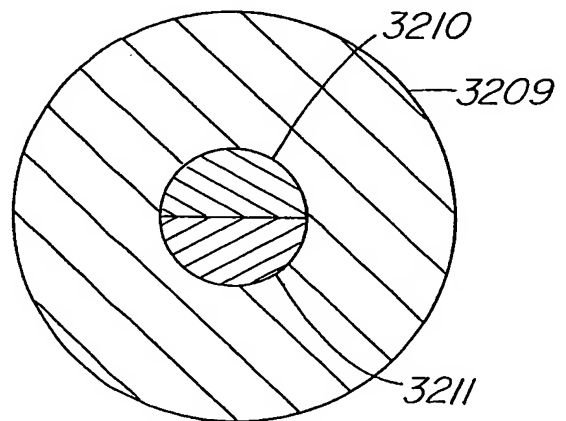


FIG. 36

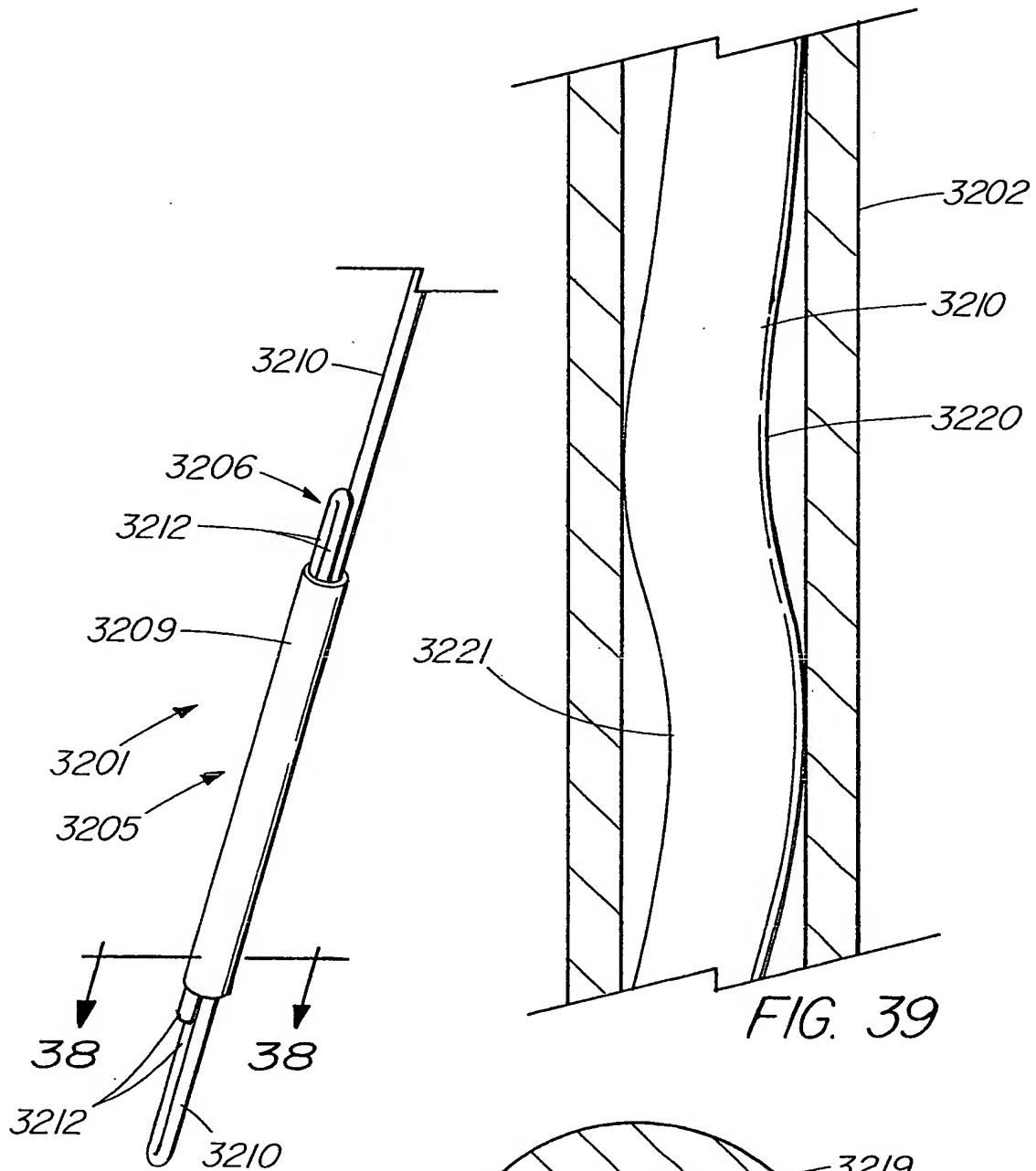


FIG. 37

FIG. 39

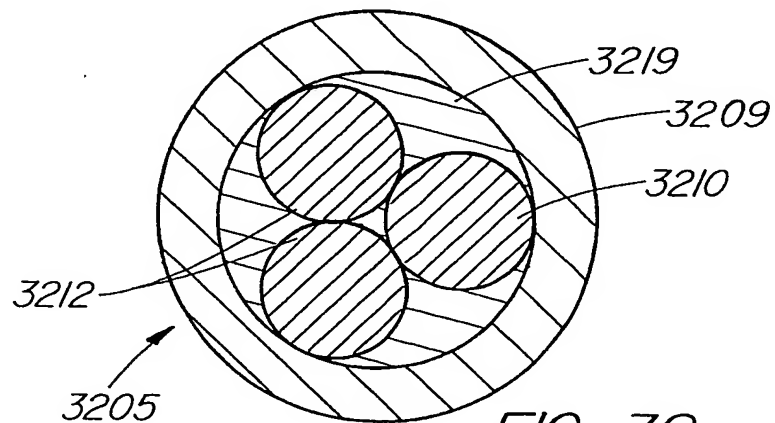
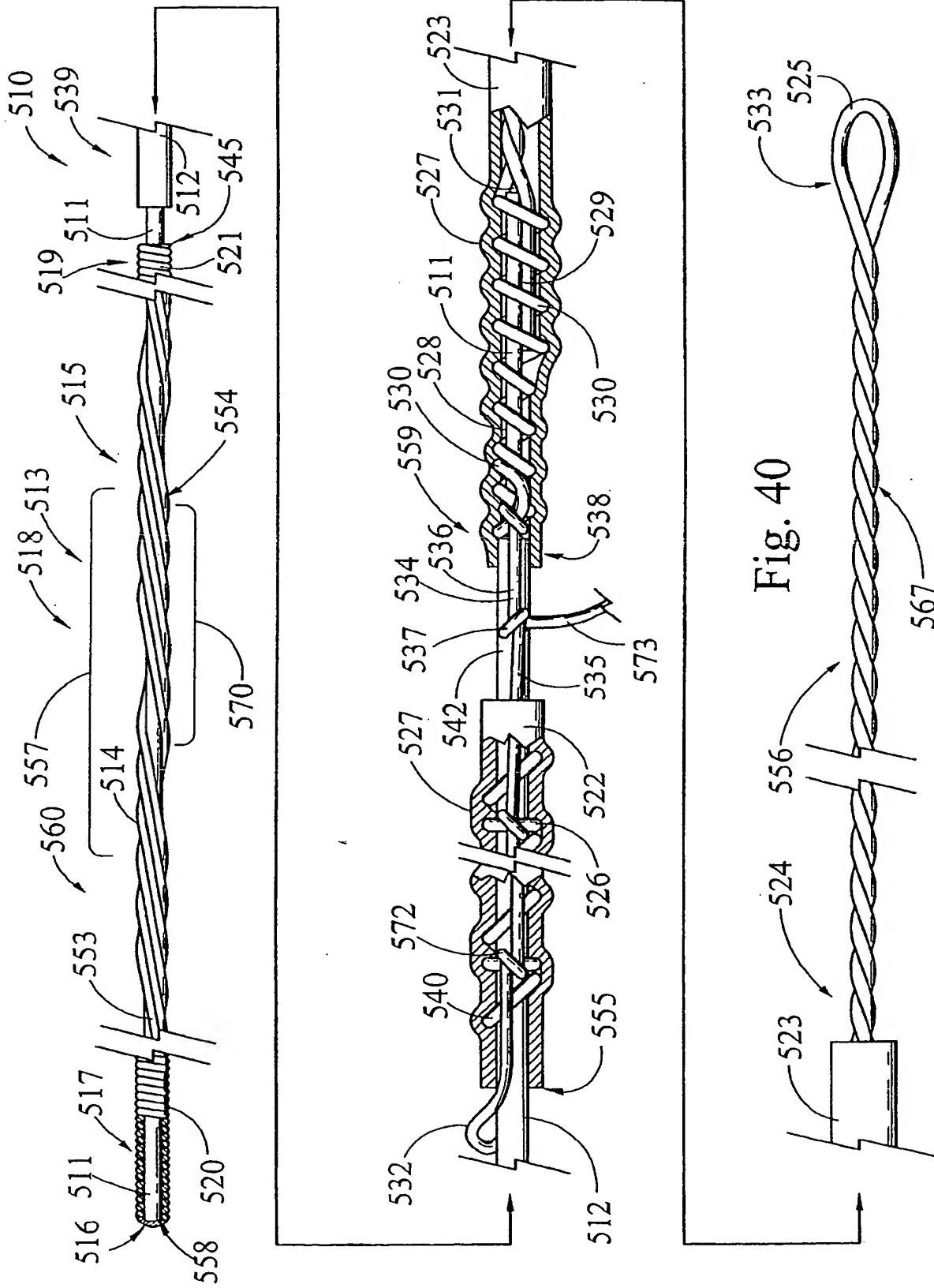
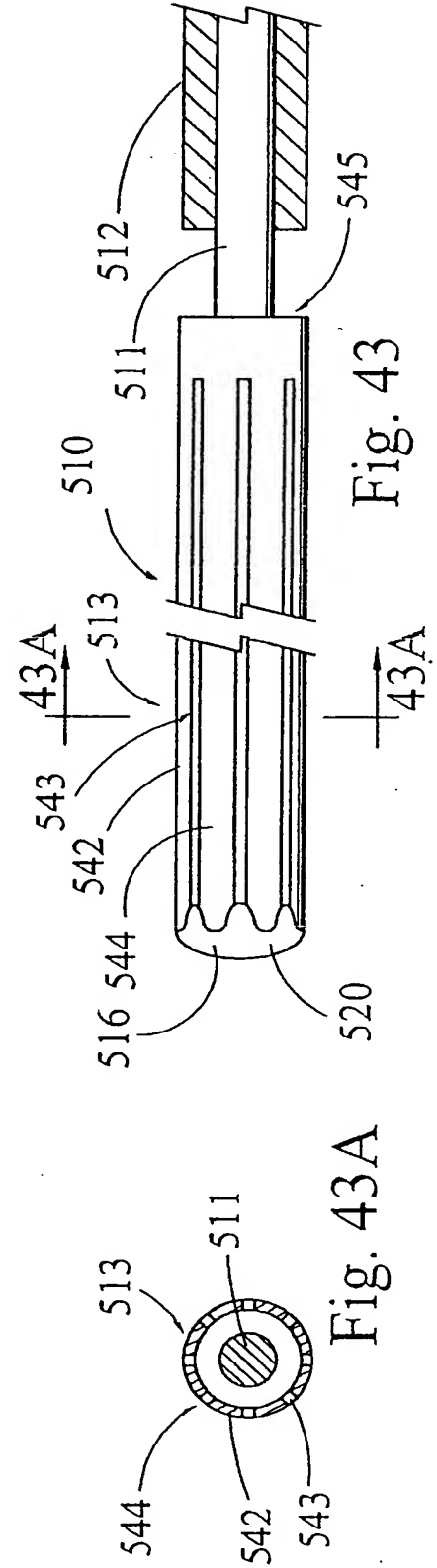
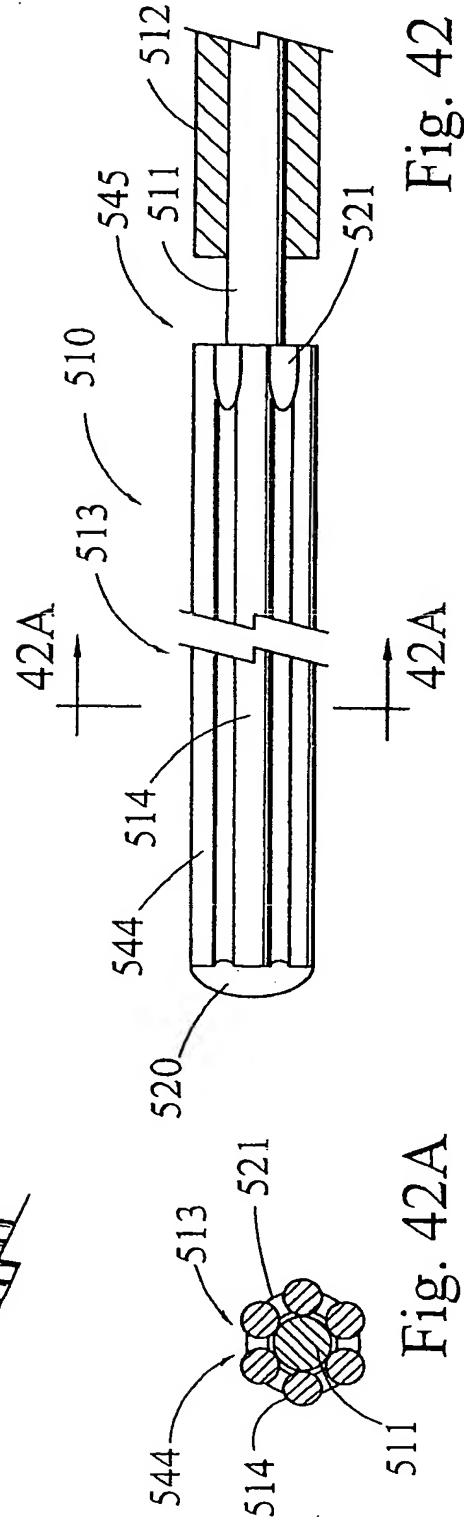
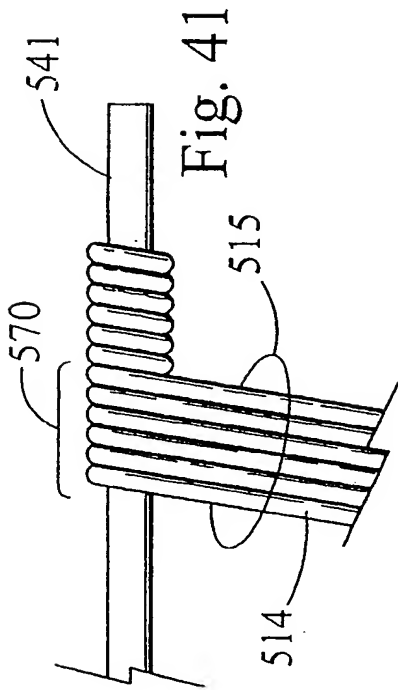
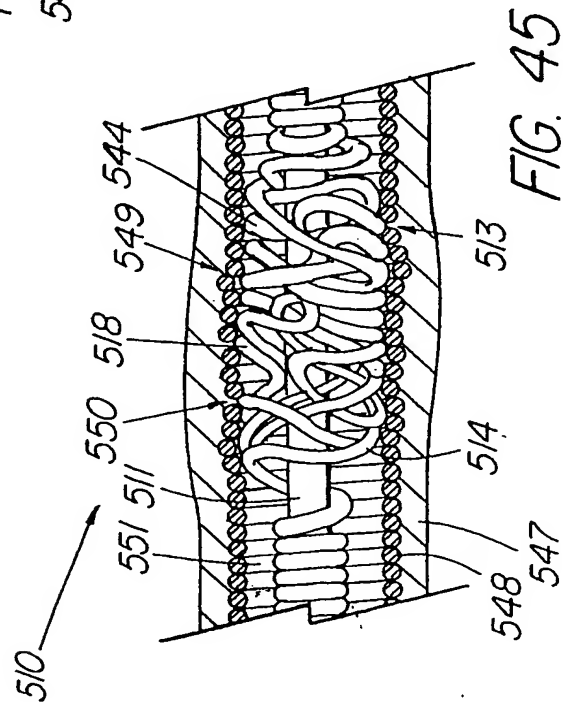
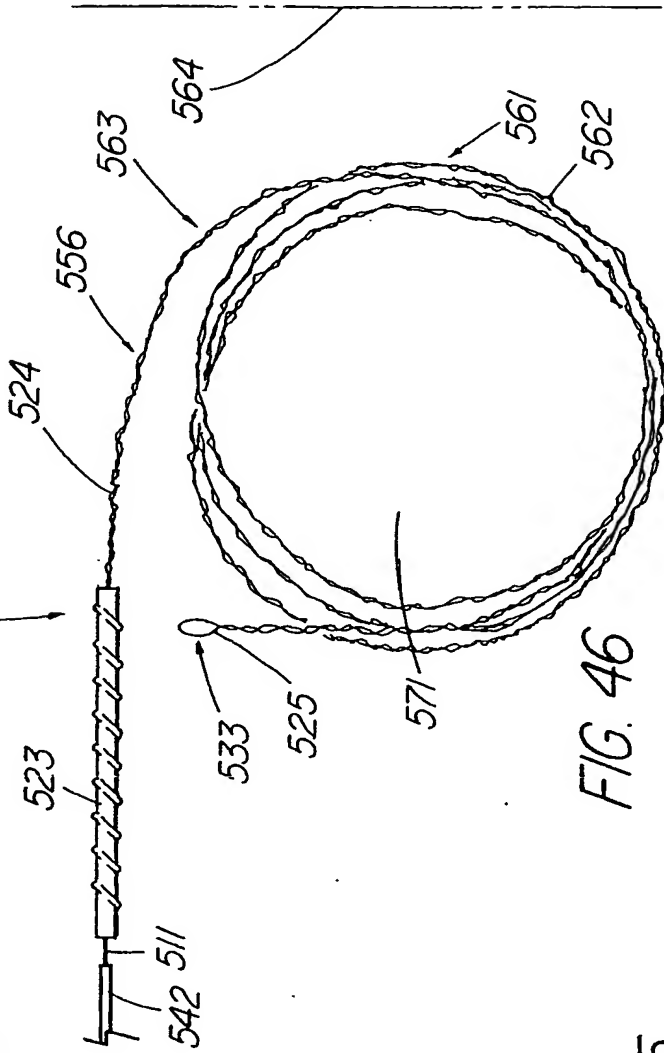
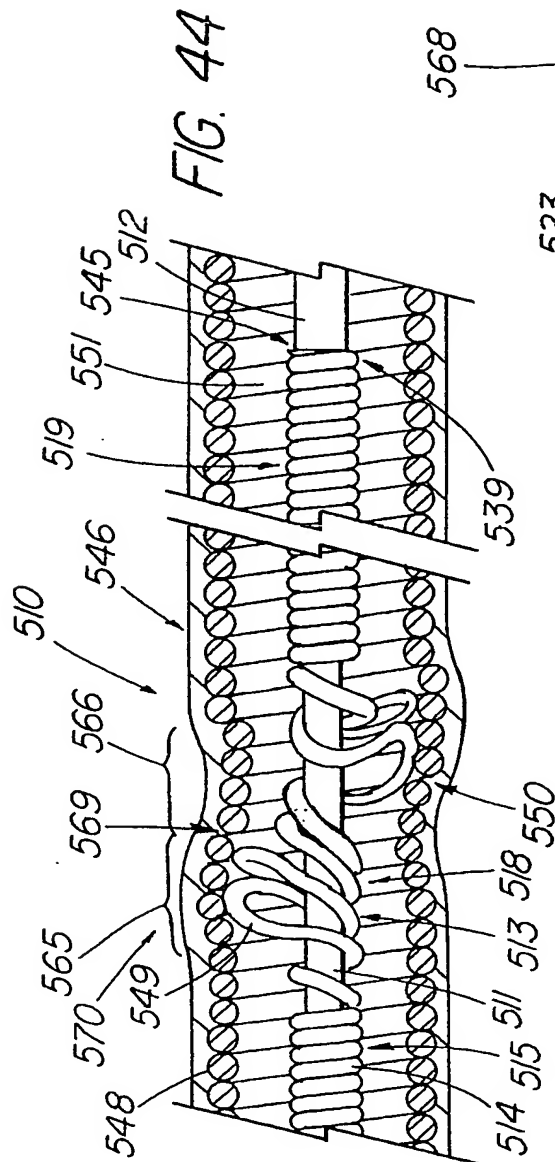


FIG. 38









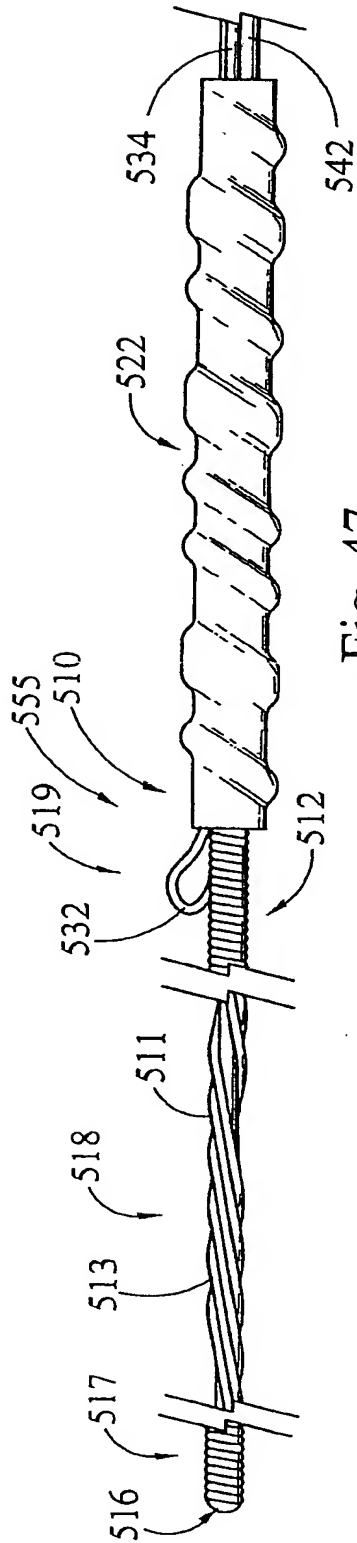


Fig. 47